ロッキング橋脚上の変位制限 耐力が桁移動に及ぼす影響

幸左 賢二1・後藤 僚一2・金山 亨3・高橋 良和4

¹正会員 九州工業大学名誉教授(〒804-8550 北九州市戸畑区仙水町1-1) E-mail:kosakenji@yahoo.co.jp

²正会員 パシフィックコンサルタンツ(株) (〒101-8462 東京都千代田区神田錦町3-22) E-mail:ryouichi.gotou@tk.pacific.co.jp

> ³正会員 (株)構造計画研究所(〒164-0011 東京都中野区中央4-5-3) E-mail: kanayama@kke.co.jp

⁴正会員 京都大学教授 工学研究科(〒615-8540 京都市西京区京都大学桂) E-mail: takahashi.yoshikazu.4v@kyoto-u.ac.jp

熊本地震においてはロッキング橋脚である府領第一橋梁で落橋が生じた。本研究では府領第一橋梁をプロトタイプ橋梁として、その有効な補強方法に着目した動的解析を実施した。まず、補強効果に着目して、変位制限構造耐力を現行の3.5 倍とし、かつ A2 橋台側にも変位制限構造を増加させ、桁移動をさらに制限させたCASE2-2 を詳細に分析した。ついで補強効果をさらに2,3 倍とした解析(CASE5-4,5-5)を実施してその補強効果を定量的に検討した。その結果CASE2-2 に対してCASE5-4, CASE5-5 と変位制限構造耐力を増加させるとともに、桁の移動量は減少したものの、衝突力は増加した。これは耐力が大きくなると衝突時間が小さくなるために、衝突力が増加するためと考えられる。

Key Words: rocking column, seismic damage, collapse of shear key, Kumamoto earthquake

1. はじめに

熊本地震においては高速道路を跨ぐロッキング橋脚を中心に、桁の橋軸直角方向への移動に伴う橋脚の回転が生じている。ロッキング橋脚の柱の上下端にはピボット支承が用いられているが、大規模地震時におけるピボット支承の複雑な挙動については十分に考慮する必要がある。

そこで過年度の論文では,まず熊本地震におけるロッキング橋脚の代表的損傷例として府領第一橋梁の損傷状況を明らかにした.ついで動的解析により被害メカニズムを解析的に再現した.また支承耐力,横方向変位拘束構造をパラメータとしてその変形挙動に着目した分析を実施した.その結果,後述の表-1 ではCASE3 が現行の A1 変位制限構造の耐力であるが,支承や変位制限構造に実強度を用いた動的解析結果は落橋時の状況を概ね再現できることが明らかとなった りまた,後述の表-1 の CASE2 に示すように A1 変位制限構造耐力を 3.5 倍に増すことにより,桁の移動量を制限でき落橋に至らないことが明らかになった.

これに対して本論文では、補強効果に着目して、変位制限構造耐力を現行の3.5 倍とし、かつA2 橋台側にも変位制限構造を増加させ、桁移動をさらに制限させた CASE2-2 を詳細に分析した. ついで補強効果をさらに2,3 倍とした解析 (CASE5-4,5-5) を実施してその補強効果を定量的に検討した.

2. 解析概要

(1) 解析モデル

過年度の研究によると府領第一橋の落橋原因は、桁の移動に伴うピボット支承が限界回転角を超えて落橋に至ったと考えられるが、その理由はAI橋台に設置された変位制限構造が耐力不足ため破壊し落橋に至った可能性が高いり。よって、橋軸直角方向の橋台部支承および変位制限構造の耐力を補強することで、十分な耐震性能を発揮できる可能性がある。ここでは、まず落橋が発生した府領第一橋梁をモデル橋梁として、現行(1.7R_d(支承反力))より変位制限構造耐力を 3.5 倍 (6.0Rd)とし、A2橋台にも変位制限構造を追加した CASE2-2 を

詳細に分析した. ついでさらに耐力を 2 倍した CASE5-4(12.0Rd), 耐力を 3 倍した CASE5-5 (18.0Rd)の比較を実 施し、その効果を評価した.

地震波形は、図-1 に示す対象橋梁の近傍である九州 自動車道の御船ICで4月16日に計測された本震波形を 用いた. 加速度応答スペクトルを見ると, 0.5 秒付近お よび1.0秒付近に大きな加速度が発生している.

なお文献では、御船 IC で計測された地震波形は地盤 構造の影響を大きく受け、 嘉島町や御船町の計測結果 よりも地震波が増幅されていると指摘されている².

解析モデルは、図-2 に示すような 3 次元非線形はり モデルとした. ロッキング橋脚の座屈変形が見られな かったことおよび橋台躯体に地震の揺れに伴う損傷が 見られなかったことから橋台躯体および鋼製橋脚はす べて線形モデルとし、躯体下端に既往の設計図書から 基礎ばね(集中ばね)を設置した3.

部材減衰定数は下部工が2%、基礎ばねはⅡ種地盤で あることから 20%とした. ロッキング橋脚の上下端の 支承は回転自由とし、粘性減衰は要素別剛性比例とし た.

なお,不等支間であるため, A1 橋台反力よりも A2 橋台反力のほうが1.7倍程度大きい.また,橋軸方向で パラペットと桁が衝突した形跡がみられないことから 橋軸方向の衝突ばねは設けていない⁴.

(2) 変位制限構造設置位置

道路橋示方書V耐震設計編では、桁の回転方向に変位 制限構造を設置することとなっている. しかしながら, 過年度の解析では回転および橋軸直角方向の移動が発生 することが明らかとなった. そこで, A2橋台でも変位 制限構造を設置することにより衝突力の減少、変位制限 効果を確認する.

(3) 変位制限構造と桁との遊間

主桁と変位制限構造の遊間は110mmであり、その間に ネオプレン製緩衝材(150・900・50mm)が挿入されて いる.

(4) ピボット支承の移動量

ここではロッキング橋脚の移動可能量を推定する. 設 計書によると図-3に示すようにロッキング橋脚はP2橋脚 では高さ2.45mである. また, 鉄道総研で実施された実 験結果および道路橋支承標準設計を基に移動可能回転量 は0.06 (rad)と仮定すると移動可能量 (Dm)は(1)式となり 147mm移動した段階で支承の回転角が0.06(rad)に達し破 壊に至る5).

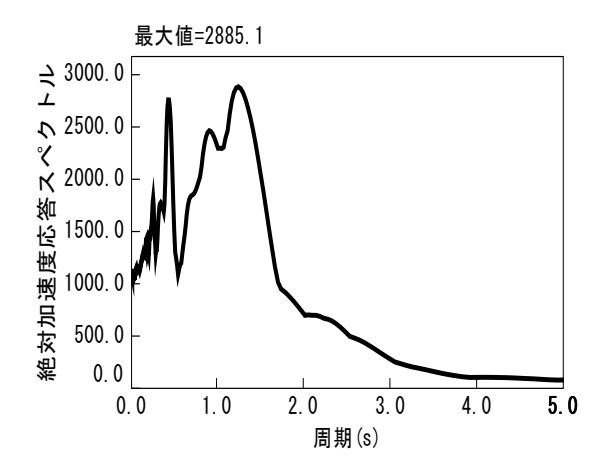


図-1 加速度応答スペクトル

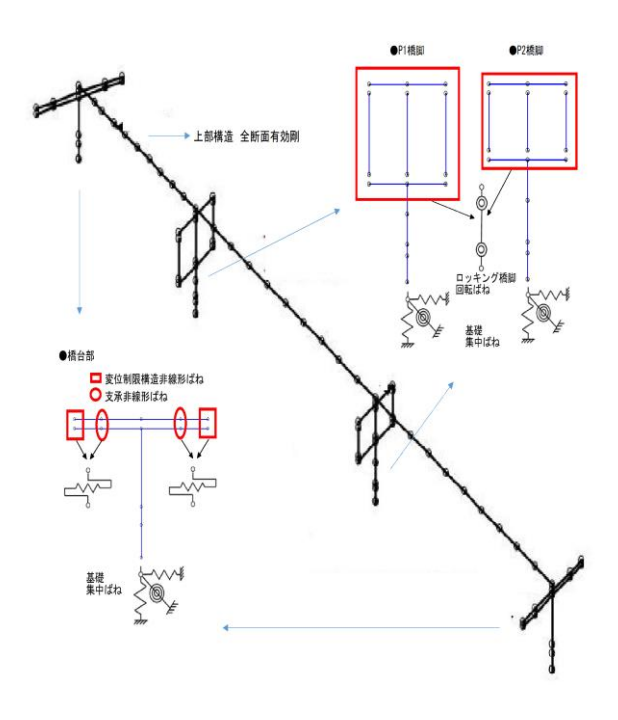


図-2 解析モデル

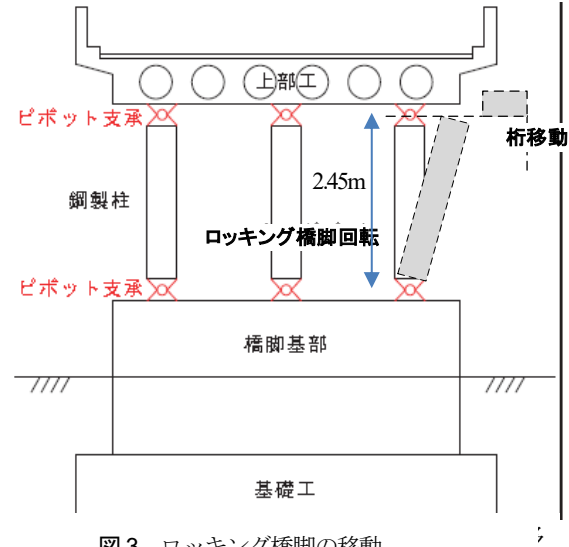


図-3 ロッキング橋脚の移動

$$D_m = H \cdot \tan(\theta) \tag{1}$$

ここでは、H: 橋脚高で2450mmを採用する. θ : 移動限界回転量で0.06 (rad) を採用する.

(5) 変位制限構造のモデル化

解析に用いた橋台の BP 支承直角方向および A1 橋台側のみに設置された変位制限構造の非線形特性および実際の非線形挙動の関係は図-4 の右側に示すとおりと推測される.変位制限構造のせん断破壊性状は、せん断補強鉄筋が徐々に降伏するじん性的な破壊性状であることが報告されている。なお桁との衝突挙動時のゴム緩衝材の影響や、支承と変位制限構造の破壊後に履歴によるエネルギー吸収をどの程度期待できるかは不明であるが、ここでは履歴減衰によるエネルギー吸収ができるモデルとし、それぞれの部材減衰定数は 0%と設定した.

図4 の右側に示すとおりそれぞれ以下の 2 パターンの 非線形モデルを考慮した (赤い折れ線で示す) ³. ここで図-4 の曲線は参考文献の実験より得られた荷重—変 位曲線例を示す ^{3,6}.

- ・変位制限構造非線形(1): 橋座式のコンクリートのせん断応力に道路橋示方書に定める押し抜きせん断応力を代入して算定した耐力をピークとするモデルであり、結果として橋座式耐力を 3.5 倍補強したケースである $(6.0R_d, ここで R_d: 死荷重反力)$.
- ・変位制限構造非線形(2): 橋座式の押抜きせん断耐力をピークとするモデルである(1.7R_d).

(6) 支承のモデル化

過年度の研究より、再現解析を試みる際、橋台部支 承耐力の影響が大きいと考え、**図4**の左の赤い曲線に 示すとおり、それぞれ以下の 2 パターンの非線形モデ ルを考慮した ^{7,8,9}、また青い曲線は実挙動例を示す.

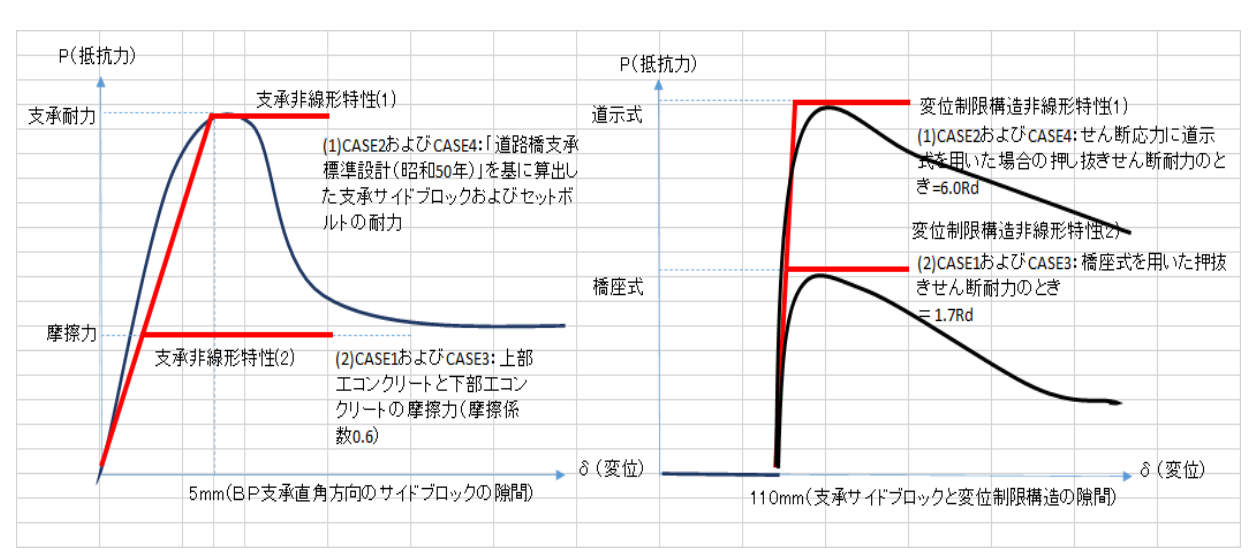


図4 検討 CASE1~4の支承と変位制限構造の非線形特性

2 . 7000				
解析ケース	支承耐力	A1変位制限	A2変位制限	遊間
CASE1	0.6R _d	$6.0R_d$	-	110mm
CASE2	1.8R _d	$6.0R_d$	-	110mm
CASE3	0.6R _d	$1.7R_d$	-	110mm
CASE4	1.8R _d	1.7R _d	-	110mm
CASE2-2	1.8R _d	$6.0R_{d}$	6.0R _d	110mm
CASE5-7	1.8R _d	$6.0R_{d}$	6.0R _d	50mm
CASE5-7e	$1.8R_d$	$6.0R_{d}$	6.0R _d	20mm
CASE5-4	$1.8R_d$	$12.0R_d$	12.0R _d	110mm
CASE5-5	1.8R _d	18.0R _d	18.0R _d	110mm

表-1 解析ケース

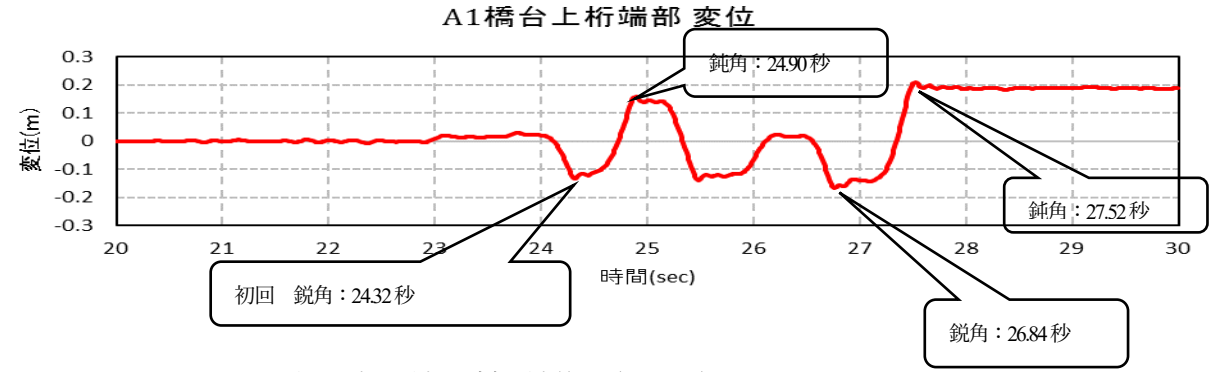


図-5 A1 橋台側上部工端部の時刻歴応答図 (CASE2-2)

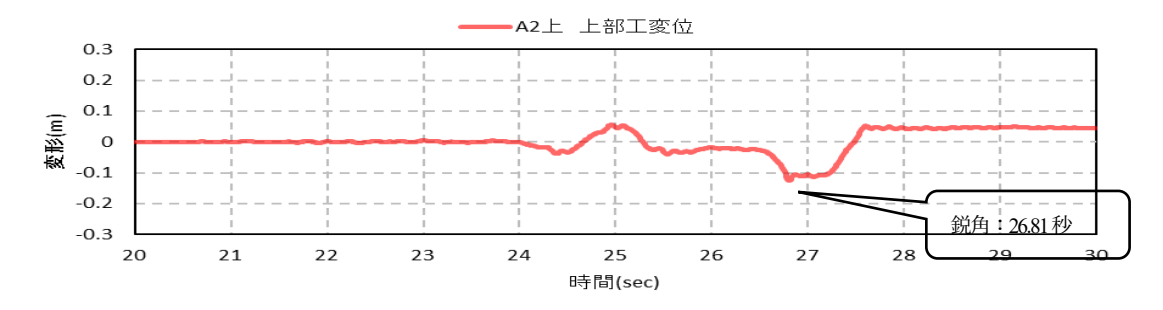


図-6 A2 橋台側上部工端部の時刻歴応答図 (CASE2-2)

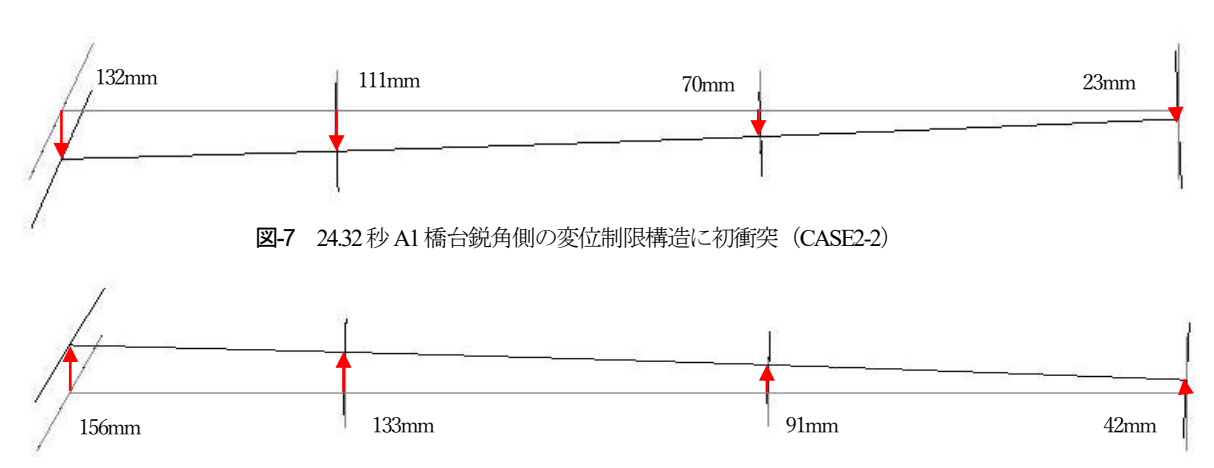


図-8 24.90 秒 A1 橋台側上部工端部の鈍角側の変位制限構造に衝突 (CASE2-2)

- ・支承非線形(1): 損傷した支承部材の耐力をピークと するモデルである(1.8R_d).
- ・支承非線形(2): 橋台支承破壊後の地震時挙動に着目 し、PC 上部工と RC 下部工の摩擦力をピークとするモ デルである(0.6Rd). ここでは文献 7)を参考に上下部コ ンクリートの摩擦係数を 0.6 と仮定している.

(7) 解析ケース

表-1 に示すように、支承・変位制限構造の非線形挙動を解析モデルで表現することが困難であるため、支承条件および変位制限構造の耐力をパラメーターとした。CASE1~CASE4 は落橋前の府領第一橋梁に対応するもので A2 橋台上に変位制限構造がないケースである.

CASE3 は落橋前の耐力を模式したものである.

すなわち実際の地震時挙動では、支承破壊後の上部 工と下部工の摩擦による影響のほうが支配的であり、 損傷状況から変位制限構造の耐力は道路橋示方書IV下 部構造編の橋座式耐力であると思われるため、CASE3 が最も実際の挙動に近い基本ケースと想定した.

これに対して CASE1 (支承耐力: $0.6R_d$, A1 橋台変位制 限構造耐力: $6.0R_d$) CASE2($1.8R_d$, $6.0R_d$), CASE4 ($1.8R_d$) はそれぞれ支承耐力,変位制限構造耐力を増加させたものである.

CASE2-2(補強標準ケース)は CASE2 に A2 橋台に変位 制限構造を追加したものである. 一方, CASE5-4, CASE5-5 は CASE2-2 に対して変位制限構造耐力をそれ ぞれ 2,3 倍としたものである. 本論文では CASE2-2,

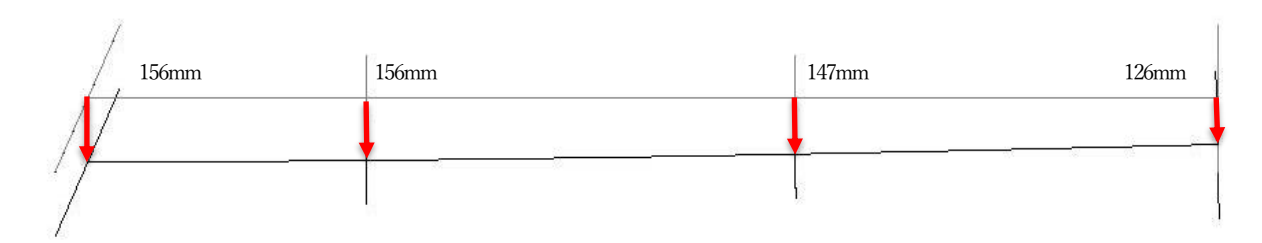


図-9 26.81 秒 A2 橋台側上部工端部の鋭角側の変位制限構造に衝突(CASE2-2)

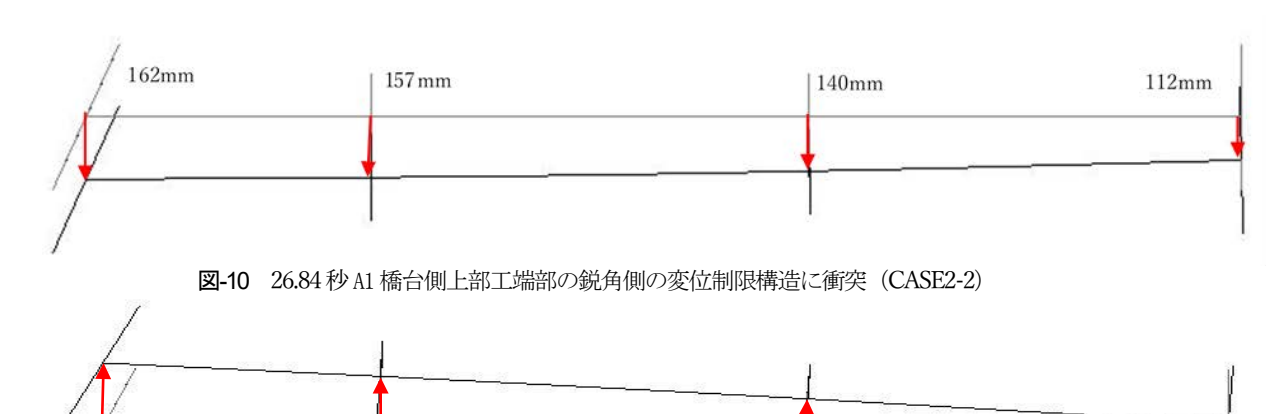


図-11 27.52 秒 A1 橋台側上部工端部の鈍角側の変位制限構造に衝突 (CASE2-2)

166mm

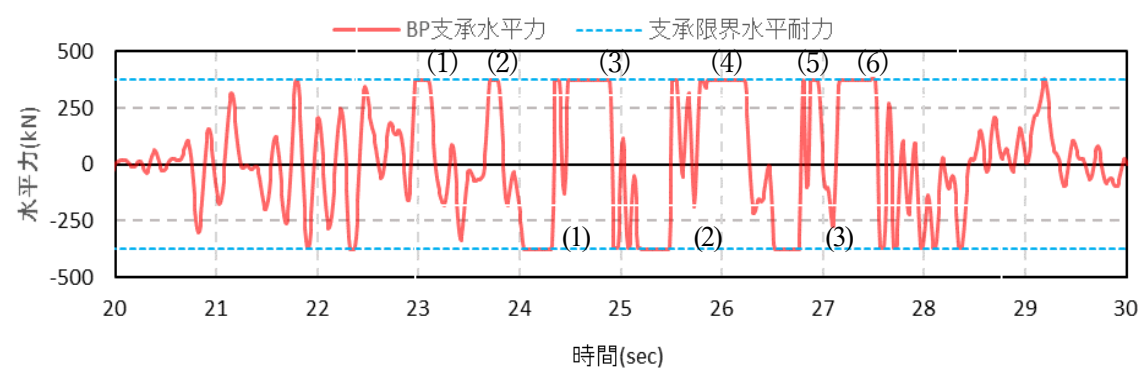


図-12 A1 橋台 BP 支承の時刻歴応答 (CASE2-2)

CASE5-4, CASE5-5 を比較することにより補強耐力の影響について考察を加える.

3. CASE2-2 の解析結果(補強標準ケース)

208mm

図-5 には A1 橋台側上部工端部の時刻歴応答図を示す. 図は横軸に解析時間,縦軸は橋軸直角方向の上部工変位量を示している. A1 橋台側変位制限構造は鋭角側に3回,鈍角側に2回繰り返し衝突している.

図-6にはA2橋台側上部端部の時刻歴応答図を示す. 図に示すようにA2橋台側変位制限構造は26.81秒に1 度だけ衝突している。また,A2側端部はA1側端部に 比べて移動量が小さい.これはA2橋台部の支承抵抗 (1644KN)がA1橋台部の支承抵抗(1125kN)に比べ て大きく移動を拘束するためであると考えれる.

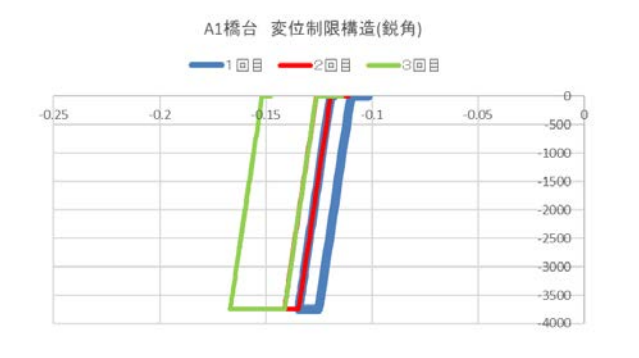
96mm

18mm

図-7~11 には主要時刻における全体変形状況を示す. 図-7 は初期衝突である 24.32 秒時の, 桁が AI 橋台鋭角側の変位制限構造に衝突時の変形挙動を示す. 図-8 は 24.90 秒時の AI 橋台側上部工端部の鈍角側の変位制限構造に衝突時の変形挙動を示す. 図-9 は 26.81 秒時の A2 橋台側上部工端部の鋭角側の変位制限構造に衝突時の変位挙動を示す. 図-10 は 26.84 秒時の AI 橋台側上部工端部の鋭角側変位制限構造衝突時の変形挙動を示す. 図-11 は 27.52 秒時の AI 橋台側上部工端部の鋭角側の変位制限構造衝突時の変形挙動を示す. 図-11 は 27.52 秒時の AI 橋台側上部工端部の鋭角側の変位制限構造衝突時の変形挙動を示す.

以上をまとめると A1 橋台の鋭角側変位制限構造では 図-10 の 26.84 秒時に最大 162mm の移動量を示す.

これに対して A1 橋台の鈍角側では図-11 に示すように



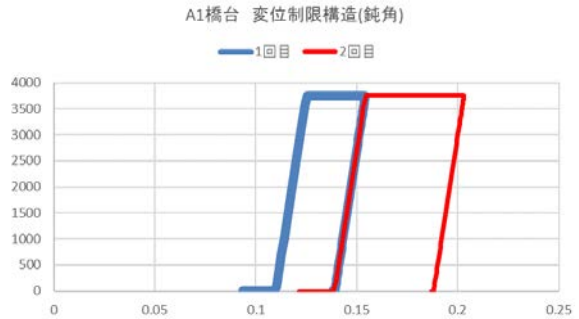


図-13 A1 橋台鋭角側耐力—変位履歴

図-14 A1 橋台鈍角側耐力—変位履歴

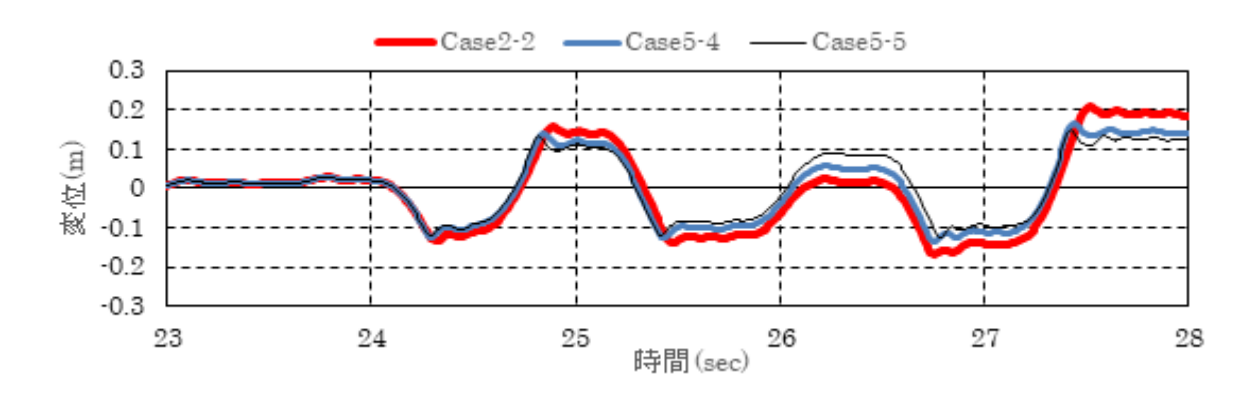


図-15 各ケースの A1 橋台上部工の変位挙動(Case2-2,5-4,5-5)



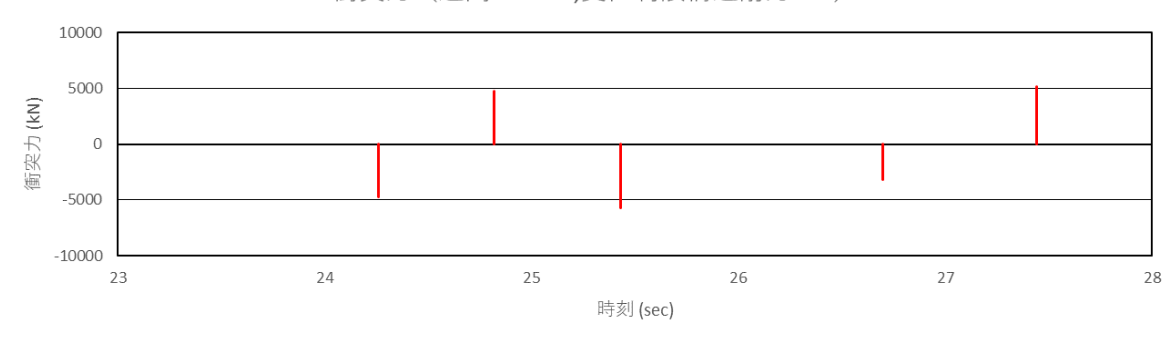


図-16 A1 橋台上変位制限構造の算定衝突力(Case2-2)

27.52 秒時に最大 208mm の移動を示す. A2 橋台鋭角側では図-9 に示すように 26.81 秒時に最大変形 126mm を示す. P1 橋脚, P2 橋脚の落橋につながる回転変位の最大値は図-9 に示すように P2 橋脚で 146.6mm/2450mm = 0.0598 となるが. これは閾値 0.06rad に比べてわずかに小さく落橋に至らない.

図-12 には A1 橋台 BP 支承水平力の時刻歴応答値図を示す. 図より A1 橋台 BP 支承は鋭角方向に3回, 鈍角方向に6回大きく衝突している. このことから, 大変形時には支承崩壊後の履歴特性が桁移動に大きく影響すると考えられる.

図-13 には A1 橋台鋭角側の変位制限構造の履歴を示す. 鋭角側には3回衝突し,最大167mmの変位(塑性率4.3)が発生している. 図-14にはA1橋台鈍角側の変位制限構造の履歴を示す. 鈍角側には2回衝突し,最大203mmの変位(塑性率6.3)が発生している. いずれも塑性状態に達している.

4. 補強耐力をパラメータとした解析

ここではCASE2-2(6.0Rd), Case5-4(12.0Rd), Case5-5(18.0Rd)

A1衝突力(変位制限構造耐力 12Rd)

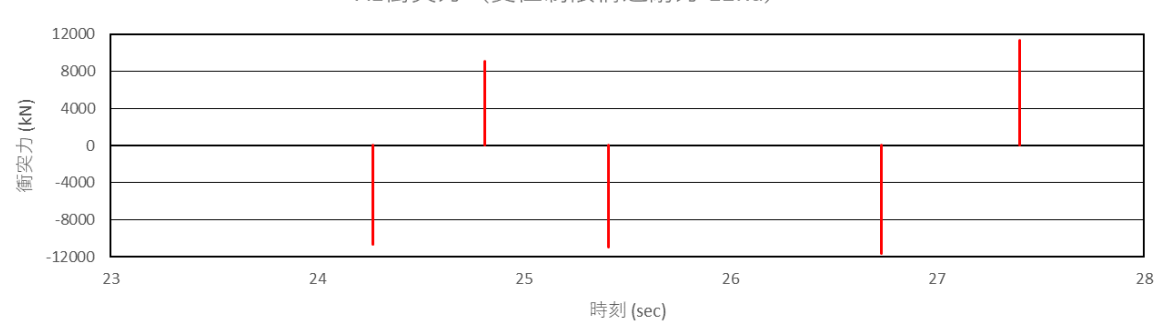


図-17 A1 橋台上変位制限構造の算定衝突力(Case5-4)

A1衝突力(変位制限構造耐力 18Rd)

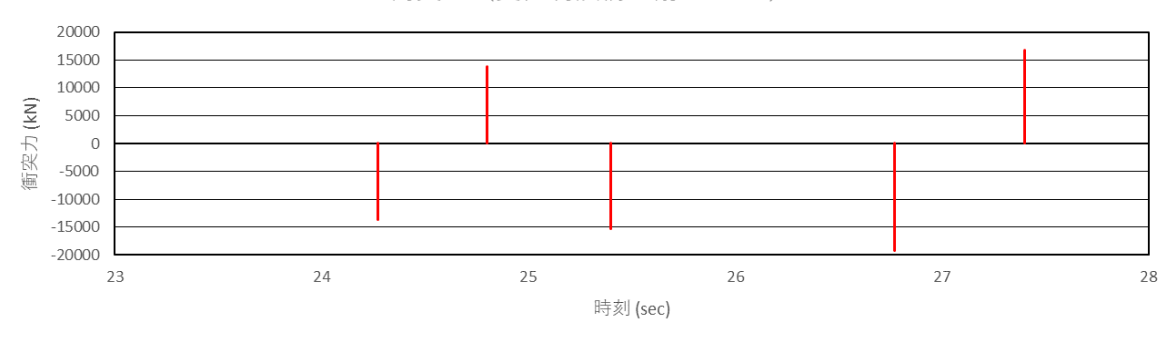


図-18 A1 橋台上変位制限構造の算定衝突力(Case5-5)

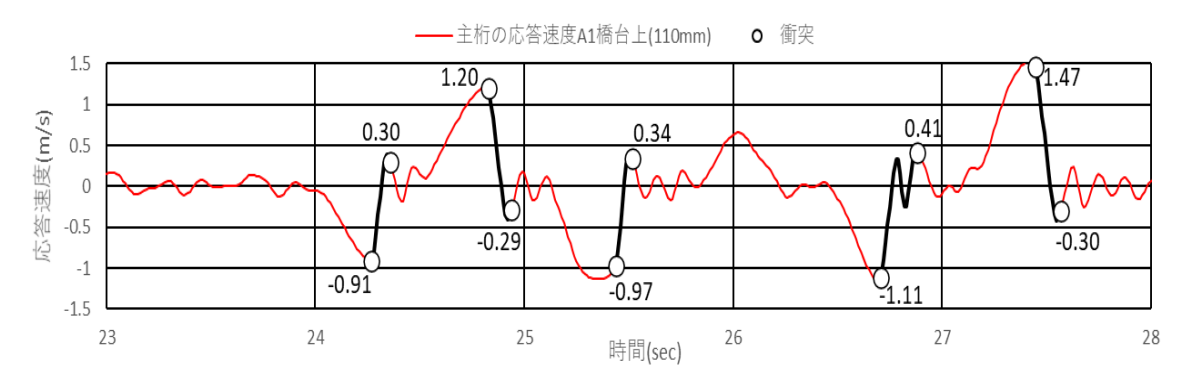


図-19 時刻例応答速度例

を比較することによって変位制限構造耐力が変形挙動に 与える影響を評価する.

図-15はA1橋台上部工位置での変形挙動を示す. 桁の 鈍角方向の最大変形量がCase2-2では208mm, Case5-4では 165mm, Case5-5では148mmと補強耐力が大きくなるにつ れて,最大変形量が小さくなっていくことが分かる. こ れは,エネルギー吸収量が一定と仮定すると,耐力が大 きくなるにつれて変位制限構造の塑性変形量が小さくな るためと考えられる.

図-16~18 は Case2-2, 5-4, 5-5 における時刻歴の衝突力を示している. ここでは衝突力は、変位制限構造が塑性化するために式(3)を用いて算出した.

また算出方法を図-19の時刻歴応答速度図を用いて説明する. 図中の(24.27 秒から 24.36 秒) では衝突開始速度-0.91m/s で桁が変位制限構造に衝突し,衝突後 24.36 秒で桁と変位制限構造は分離し反発速度は 0.30m/s である.

$$F\Delta t = mV_2 - mV_1 \tag{2}$$

$$F = m (V_2 - V_1) / \Delta t$$
 (3)

ここで

F: 算出衝突力 (kN)

m:上部工質量(全桁質量の半分と仮定)(kN・s²/m)

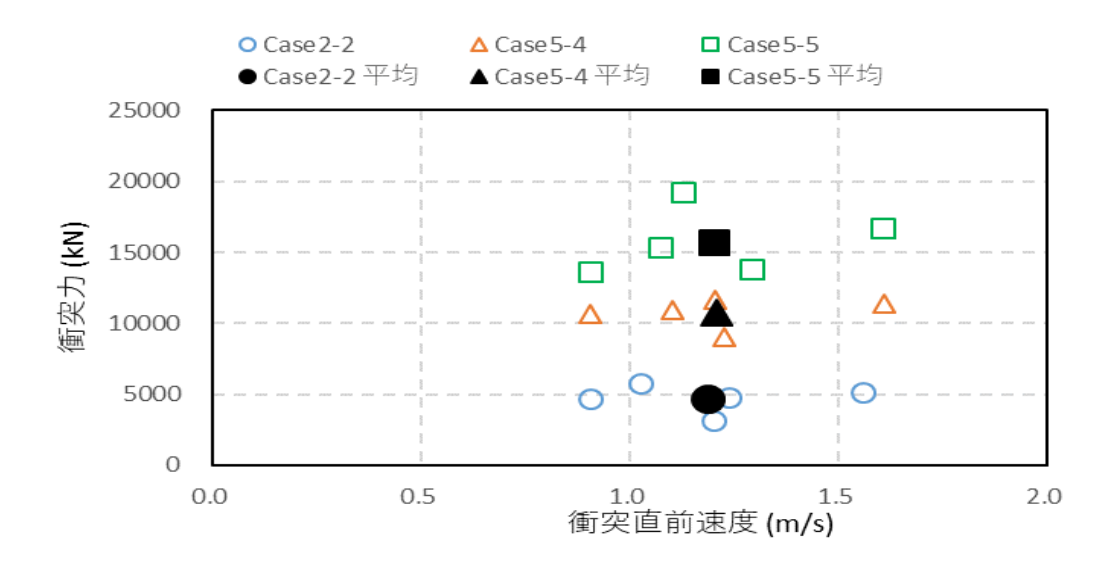


図-20 各ケースの衝突力と直前衝突速度の関係

V₁: 衝突直前の速度(m/s) V₂: 衝突直後の速度(m/s)

Δt: 衝突時間(s)

式(2)に示す運動量の式を式(3)に変換し、衝突力を算出する. 上部工質量mは352.lk $N \cdot s^2$ /m、衝突直前の速度 V_1 は-0.9lm/s、衝突直後の速度 V_2 は0.30m/s、衝突時間 Δt は0.009sであり、右辺を算出すると4733.kkNとなる.

図-16,17,18の鋭角側を例に取ると, Cae2-2では衝突回数3回, 最大衝突力5750kN, Case5-4では衝突回数3回, 最大衝突力11660kN, Case5-5では衝突回数3回, 最大衝突力19213kNとなっている. 衝突回数は変化しないものの, 補強耐力が大きいほど衝突力が増加している.

図-20は各ケースのA1橋台への衝突直前速度と衝突力の関係を示したものである.まず平均衝突力で比較するとCase2-2, Case5-4, Case5-5ではそれぞれ4718kN, 10740kN, 15727kNとなる,また平均衝突直前速度で比較すると,それぞれ1.19m/s, 1.21m/s, 1.20m/sと比較的変化が少なく,耐力が大きいほど,衝突力が増加することが分かる.また平均衝突時間は0.11s (0.08~0.17s), 0.065s (0.05~0.075s), 0.045s (0.03~0.55s)と衝突時間は減少している.これは補強耐力が大きいほど,塑性変形量が小さくなり,桁が変位制限構造にめり込む量が小さく,衝突時間が減少し,衝突力が増加するために考えられる.

このように耐力を増加させることは、塑性変形量が減少し、ロッキング橋脚の最大変位量を減少させる効果が期待できる.

5. まとめ

熊本地震によりロッキング橋脚の損傷により落橋に至

った府領第一橋梁のモデルとして変位制限構造の設置位置, 桁一変位制限構造の耐力をパラメータとした動的解析結果を以下にまとめる.

1)CASE2に対してA2橋台の変位制限構造を追加した CASE2-2では、橋脚の回転角は0.06rad以内となったもの の、CASE2と変形挙動はほとんど変化しない結果とな った.これはA2橋台の支承抵抗が大きく、変位制限構 造が26秒以降に働くため、変位制限効果が十分発揮さ れなかったためと考えられる.

2)CASE2-2に対してCASE5-4, CASE5-5と変位制限構造耐力を増加させるとともに、桁の移動量は減少したものの、衝突力は増加した.これは耐力が大きくなると衝突時間が小さくなるために、衝突力が増加するためと考えられる.また、耐力増は変位制限構造の塑性域を減少させるためにロッキング橋脚の最大変形量を減少させる効果が認められた.

参考文献

- 1) 幸左賢二,後藤僚一,金山亨,高橋良和:ロッキング橋脚の倒壊メカニズムの検討,第21回性能に基づく橋梁等の耐震設計に関するシンポジウム講演論文集,pp.31-38,2018.
- 2) 豊増明希,後藤浩之,澤田純男,高橋良和:平成28年熊本地震の御船ICにおける大速度記録の原因分析,日本地震学会2017年秋季大会
- 3) 日本道路協会: 道路橋示方書 IV・同解説 下部構造編, 2012.
- 4) 国土交通省国土技術政策総合研究所,国立研究開発法人土木研究所:平成28年(2016年)熊本地震土木施設被害調查報告,平成29年3月
- 5) 池田学: ピボット支承を有する旧式鋼橋の耐震評価法と 簡易補強法, 鉄道総研月例発表会講演要旨

- 6) 西恭彦, 轟俊太郎, 田所敏弥, 進藤良則: 鋼角ストッパー周辺のコンクリートの破壊性状に関する検討, コンクリート工学年次論文集, Vol.37, No.2, pp.1-6, 2015.
- Rabbat, B. G. and Russel, H. G.: Friction coefficient of steel on concrete or gout, J. Struc. Eng., ASCE., Vol. 111, No.3, pp. 505-515, 1985.
- 8) 日本道路公団九州支社:九州自動車道熊本館内跨道橋耐 震補強設計,2001.
- 9) 西日本高速道路株式会社九州支社: 橋梁災害復旧技術検討会報告書, 2017.

THE EFFECT OF BEARING CAPACITY OF CONFINING DEVICES TO THE MOVEMENT OF GIRDER

Kenji KOSA, Ryouichi GOTOU, Toru KANAYAMA and Yoshikazu TAKAHASHI

In the 2016 Kumamoto Earthquake, the girder of the Furyou Daiichi Bridge collapsed due to a large displacement of the rocker-bearing type pier. We conducted dynamic analysis which modeled the Furyou Daichi Bridge to evaluate the effect of bearing capacity of confining devices to the displacement of the girder. As increase the bearing capacity of confining device 2 or 3 times stronger than the original proposed reinforcing confing device, it leads to reduce the girder movement, however, it also leads to increase the impact force due to the reduction of impact time.